

МАГНИТОГИДРОДИНАМИЧЕСКАЯ УСТОЙЧИВОСТЬ ПЛАЗМЫ НИЗКОГО ДАВЛЕНИЯ В АКСИАЛЬНО-СИММЕТРИЧНЫХ ОТКРЫТЫХ ЛОВУШКАХ СО ЗНАКОПЕРЕМЕННОЙ КРИВИЗНОЙ

В.В.Арсенин

Найден класс аксиально-симметричных открытых конфигураций, в которых возможна устойчивость длинной тонкой плазмы с $\beta \ll 1$.

1. Рассматривается МГД устойчивость плазмы низкого давления ($\beta = 8\pi r/B^2 \ll 1$, B — магнитное поле) в конфигурациях, в которых плазма находится около произвольной (но достаточно гладкой) поверхности вращения, рис. 1. Вдоль поля может быть несколько магнитных пробок, так что давление переменено по длине. На рисунке плазма с $p \neq 0$ занимает области 1 и 2, на соединительном участке 3 давление пренебрежимо мало (но проводимость, как и в 1, 2, велика). Считается, что пробочные отношения лишь немного больше единицы, так что $p_{\perp} \gg p_{\parallel}$. Для сокращения записи давление электронов полагается много меньше ионного.

2. При $\beta \rightarrow 0$ наиболее опасные желобковые колебания потенциальны: $\mathbf{E} = -\nabla\Phi$, Φ постоянно вдоль магнитной силовой линии. Критерий устойчивости имеет вид 1^{-3}

$$\begin{aligned}
 W = \int \Phi^2 d\psi \int & \left\{ - \frac{\partial(p_{\perp} + p_{\parallel})}{\partial\psi} \frac{1}{B} \frac{\partial B}{\partial\psi} + (p_{\perp} + p_{\parallel}) \left(\frac{1}{B} \frac{\partial B}{\partial\psi} \right)^2 + \right. \\
 & \left. + m_i \int \frac{B}{v_{\parallel}} \frac{\partial F}{\partial \epsilon} \left[\mu^2 \left(\frac{\partial B}{\partial \psi} \right)^2 - \left(\frac{\int \frac{v_{\parallel}^2 + \mu B}{v_{\parallel}} \frac{1}{B} \frac{\partial B}{\partial \psi} dl}{\int \frac{dl}{v_{\parallel}}} \right)^2 \right] d\mu d\epsilon \right\} \frac{dl}{B} > 0. \quad (1)
 \end{aligned}$$

Здесь $F(\epsilon, \mu, \psi)$ — невозмущенная функция распределения ионов, зависящая от $\epsilon = v^2/2$, $\mu = v_{\perp}^2/2B$ и магнитного потока ψ ; $v_{\parallel} = \sqrt{2(\epsilon - \mu B)} \cdot B$, p_{\perp} и p_{\parallel} — функции двух координат: ψ и „продольной“ координаты λ , поверхности уровня которой перпендикулярны поверхностям $\psi = \text{const}$. Интегрирование по dl ведется вдоль силовой линии, выражение для элемента dl через ψ и λ будет дано позже.

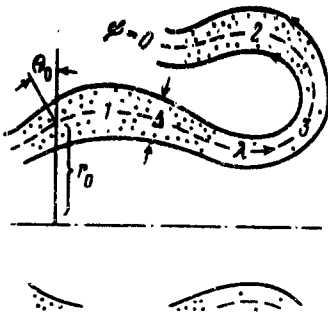


Рис. 1

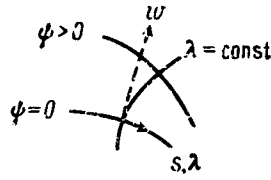


Рис. 2

Ограничимся случаем, когда относительное изменение $\partial B/\partial \psi$ на длине отдельной ловушки $\lesssim p_{\parallel}/p_{\perp}$. При этом слагаемое $\partial F/\partial \epsilon$ упрощается: члены с μ^2 „почти“ взаимно уничтожаются (сумма $\langle p_{\parallel} [(1/B)(\partial B/\partial \psi)]^2 \rangle$), а остающийся старший, линейный по μ член сводится к $2p_{\perp} [(1/B)(\partial B/\partial \psi)]^2$, так что

$$W = \int \Phi^2 d\psi \int \left[-\frac{\partial}{\partial \psi} \left(\frac{p_{\perp} + p_{\parallel}}{B^2} \right) \frac{\partial B}{\partial \psi} + \frac{p_{\perp} - p_{\parallel}}{B^3} \left(\frac{\partial B}{\partial \psi} \right)^2 \right] dl. \quad (2)$$

Отсюда получаем достаточное условие устойчивости

$$\int \frac{\partial}{\partial \psi} \left(\frac{p_{\perp} + p_{\parallel}}{B^2} \right) \frac{\partial B}{\partial \psi} dl < 0. \quad (3)$$

3. Полагая заданным поле $\mathbf{B} = B_0$ на магнитной поверхности $\psi = 0$, вдоль которой будем отсчитывать λ , найдем $B(\psi, \lambda)$ около нее. Удобно временно перейти к другим ортогональным координатам: w , отсчитываемой в меридиональном сечении по нормали к кривой $\psi = 0$, s -координате основания нормали (рис. 2) и азимутальному углу φ . В этих координатах поток $\psi = rA_{\varphi}$ ($\text{rot} A_{\varphi} e_{\varphi} = \mathbf{B}$) представляется рядом ⁴

$$\psi = r_0 B_0 w - \frac{r_0 B_0}{2} \left(k_0 - \frac{1}{r_0} \cos \theta_0 \right) w^2 + \left\{ \frac{r_0 B_0}{3} \left(k_0^2 - \frac{k_0}{r_0} \cos \theta_0 \right) - \frac{r_0}{6} \left[\frac{1}{r_0} (r_0 B_0)' \right]' \right\} w^3 + \dots, \quad (4)$$

где $r_0(s)$ – расстояние от кривой $\psi = 0$ до оси, $k_0(s) = R_0^{-1}(s)$ – ее кривизна, $\theta_0(s)$ – угол между вектором w и радиальным направлением (рис. 1), штрих означает дифференцирование по s . Вычислив компоненты поля B_w и B_s , находим

$$B = B_0 - k_0 B_0 w + \left\{ k_0^2 - \frac{1}{2B_0} \left[\frac{1}{r_0} (r_0 B_0)' \right]' + \frac{1}{2} \frac{[(r_0 B_0)']^2}{r_0^2 B_0^2} \right\} B_0 w^2 + \dots \quad (5)$$

Для перехода к координатам ψ, λ выразим из (4) w через ψ : $w = \frac{\psi}{r_0 B_0} + \frac{1}{2} \left(k_0 - \frac{1}{r_0} \cos \theta_0 \right) \times (\psi/r_0 B_0)^2 + \dots$ и используем разложение $\lambda = s - \frac{1}{2} \frac{(r_0 B_0)'}{r_0 B_0} w^2 + \dots$ (следует из условия $\nabla \psi \nabla \lambda = 0$), откуда найдем $s(\lambda, \psi)$. В результате получаем

$$B = B_0 - k_0 B_0 \frac{\psi}{r_0 B_0} + \frac{1}{2} \left\{ k_0^2 + \frac{k_0}{r_0} \cos \theta_0 + \frac{B_0'}{B_0} \frac{(r_0 B_0)'}{r_0 B_0} - \frac{1}{B_0} \left[\frac{1}{r_0} (r_0 B_0)' \right]' + \frac{[(r_0 B_0)']^2}{r_0^2 B_0^2} \right\} B_0 \left(\frac{\psi}{r_0 B_0} \right)^2 + \dots, \quad (6)$$

где теперь B_0, r_0, k_0, θ_0 – функции λ .

4. Случай $k_0 = 0$ отвечает ловушке Андреолетти — Фюрта^{5,6}, где может быть неглубокий $\min B$. Слабое (поскольку рассматривался случай, когда плазма занимает область около точки, где $k_0 = 0$) влияние конечной k_0 на неустойчивость такой ловушки обсуждалось в⁶.

5. Обратимся к ситуации, когда, в противоположность случаю Андреолетти — Фюрта; в (6) несущественны члены с $(r_0 B_0)'$, но важны члены с кривизной k_0 . Пусть в областях, где $p \neq 0$, величина

$$r_0(\lambda)B_0(\lambda) = \text{const.} \quad (7)$$

Подставляя в (3) $\partial B/\partial \psi$ из (6) и $d\lambda = \left(1 + k_0 \frac{\psi}{r_0 B_0}\right) d\lambda$, приходим к достаточному условию устойчивости тонкой ($\delta w \equiv \Delta \ll r_0, R_0$) плазмы

$$\int \left(\frac{k_0}{r_0} - \frac{k_0 \cos \theta_0}{r_0} \frac{\psi}{B_0 r_0^2} \right) \frac{\partial}{\partial \psi} \frac{p_{\perp} + p_{\parallel}}{B^2} d\lambda > 0. \quad (8)$$

Потребуем, чтобы с точностью Δ^2/r_0^2 старший по ψ член в (8) обратился в нуль:

$$\int \frac{k_0}{r_0} \frac{p_{\perp} + p_{\parallel}}{B^2} d\lambda = 0, \quad (9)$$

что возможно, если $k_0(\lambda)$ знакопеременна. Тогда (8) сводится к

$$\int \frac{k_0 \cos \theta_0}{r_0^2} \psi \frac{\partial}{\partial \psi} \frac{p_{\perp} + p_{\parallel}}{B^2} d\lambda < 0. \quad (10)$$

Таким образом, при выполнении (9) и (естественных) распределениях давления, таких что $\psi \frac{\partial}{\partial \psi} \frac{p}{B^2} < 0$, для устойчивости достаточно $k_0 \cos \theta_0 > 0$ (такой случай и показан на рис. 1).

Устойчивость рассмотренной конфигурации связана с тем, что при $k_0 \cos \theta_0 > 0$ спад B как функции ψ в сторону выпуклости поля идет медленнее, чем линейно. Разумеется, постоянная часть в $\partial B/\partial \psi$ главная, так что в каждой из областей 1, 2 одна граница выпуклая и изолированные ловушки 1, 2 неустойчивы. В соединенных же ловушках $\partial B/\partial \psi$ усредняется по длине и при условии (9) грубые эффекты кривизны взаимно компенсируются; остающийся эффект эквивалентен наличию среднего $\min B$ (глубиной $\sim \Delta^2/r_0 R_0$), поскольку, как сказано, в обеих ловушках $\partial^2 B/\partial \psi^2 > 0$ (хотя ямы ни в одной нет).

Литература

1. *Kruskal M.D., Oberman C.R.* Phys. Fluids, 1958, 1, 275.
2. *Andreolletti J.* Comptes rendus Acad. Sci., 1963, 256, 1469.
3. *Taylor J.B., Hastie R.J.* Phys. Fluids, 1965, 8, 323.
4. *Морозов А.И., Соловьев Л.С.* Вопросы теории плазмы, под ред. М.А.Леонтовича, т. 2, М., Госатомиздат, 1963, стр. 79.
5. *Andreolletti J.* Comptes rendus Acad. Sci., 1963, 257, 1235.
6. *Furth H.P.* Phys. Rev. Lett., 1963, 11, 308.